

VARIACIONES GEOQUIMICAS, LOCALES Y REGIONALES, EN EL FRENTE VOLCANICO CUATERNARIO DE LOS ANDES CENTRALES (17°30'-22°00'S), NORTE DE CHILE

GERHARDT WÖRNER

LEOPOLDO LOPEZ-ESCOBAR

STEPHEN MOORBATH

SUSAN HORN

JÜRGEN ENTENMANN

RUSSEL S. HARMON

JON D. DAVIDSON

Institut für Geowissenschaften, Postfach 3980, Universität Mainz, D-6500, Mainz, Alemania

Departamento de Geología, Universidad de Chile, Casilla 13518, Correo 21, Santiago-Chile, and

NERC-Isotope Geosciences Laboratory, Keyworth, Nottingham, NG12 5GG, Inglaterra

Department of Earth Sciences, Oxford University, Parks Rd., Oxford, OX1 3PR, Inglaterra

Institut für Geowissenschaften, Postfach 3980, Universität Mainz,

D-6500, Mainz, Alemania

NERC Isotope Geosciences Laboratory, Keyworth, Nottingham, NG12 5GG, Inglaterra

Department of Earth and Space Sciences, University of California, Los Angeles, CA 90024, EE.UU.

RESUMEN

Datos geoquímicos, obtenidos en muestras del sector 17°30'- 22°00'S del frente volcánico cuaternario de los Andes Centrales, sugieren una participación relevante de la corteza continental en la génesis magnética de esta región. Una segmentación regional en la composición de los centros volcánicos y una interrupción significativa del volcanismo cuaternario entre los 19°10'-20°40'S (Altos de Pica) son características notables en este sector andino. Los centros ubicados al norte de los Altos de Pica (16°00'-19°09'S) difieren de los ubicados al sur (20°40'-28°00'S) en la abundancia de elementos trazas incompatibles y en la conducta de las razones isotópicas de Sr y Pb con el grado de diferenciación. Siendo la edad y composición de la corteza las únicas variables geofísicas de importancia entre 17°30' y 22°00'S, la segmentación regional parece reflejar una interacción de los magmas subcorticales con zonas corticales de diferente edad y composición. Esta interacción se interpreta como el resultado de un proceso, tipo MASH, llevado a cabo en la corteza inferior. Las variaciones locales en la composición del magma sugieren una evolución de la zona de MASH en respuesta al aumento del espesor cortical, ocurrida durante el Mioceno inferior a medio. La semejanza de la composición isotópica de las lavas de los conos monogenéticos meridionales con aquélla de las lavas de la región septentrional se interpreta como el resultado de la interacción de sus magmas subcorticales con una corteza inferior, de tipo septentrional, extendida en profundidad hacia el sur.

Palabras claves: Geoquímica, Volcanismo cuaternario, Andes Centrales, Norte de Chile.

ABSTRACT

LOCAL AND REGIONAL GEOCHEMICAL VARIATIONS IN THE QUATERNARY VOLCANIC FRONT OF THE CENTRAL ANDES (17°30'-22°00'S), NORTHERN CHILE. Geochemical data, obtained in samples from the 17°30'-22°00'S sector of the Quaternary volcanic front of the Central Andes, suggest a significant involvement of the continental crust in the magmagenesis of this region. A regional segmentation in the composition of the volcanic centers and a gap in the Quaternary volcanism between 19°10' and 20°40'S (Altos de Pica zone) are important features in this Andean sector. Centers north of the Altos de Pica (16°00'-19°09'S) differ from those south of it (20°40'-28°00'S) in the abundance of incompatible trace elements and in the behaviour of the Sr- and Pb- isotopic ratios with degree of differentiation. Since the mean age and composition of the crust are the only important geophysical variables between 17°30' and 22°00'S, the regional segmentation seems to reflect an interaction of subcrustal magmas with crust of different age and composition. This interaction is interpreted as a MASH-type process occurring in the lower crust. Local variations in magma composition suggest a MASH zone that evolved in response to crustal thickening during the lower to middle Miocene. The isotopic composition of southern monogenetic cone lavas is similar to those of the northern region lavas and is interpreted to result from interaction of subcrustal magmas with northern-type lower crust extending southward at depth.

Key words: Geochemistry, Quaternary volcanism, Central Andes, Northern Chile.

INTRODUCCION

El volcanismo cuaternario de la zona volcánica central de los Andes (ZVC; 16°-28°S) es uno de los productos de la subducción de la placa oceánica de Nazca bajo la placa continental Sudamericana. Los

diferentes centros volcánicos de esta zona se distribuyen a lo largo de una franja, de orientación norte-sur, alcanzando elevaciones de 5.000 a 7.000 m s.n.m. y unos 2.000 m sobre su base. En esta zona

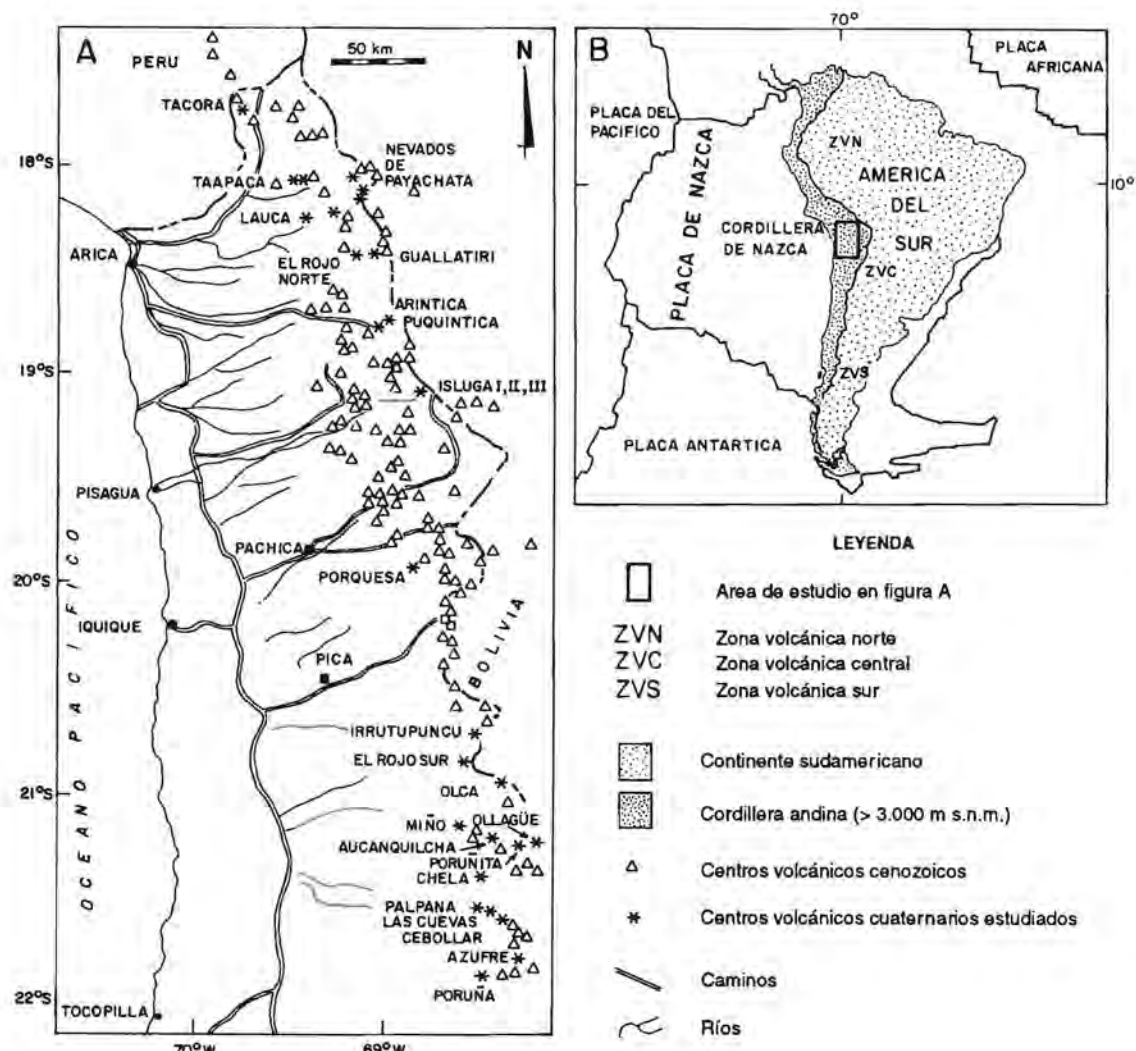


FIG. 1. Zona volcánica central (ZVC) de los Andes entre las latitudes 17° y 22°S. Con estrellas se muestra la ubicación de los centros volcánicos cuaternarios discutidos en este trabajo.

se ubican los volcanes más elevados del mundo.

En la ZVC, la fosa Chile-Perú es relativamente profunda (7.000 m) y, prácticamente, carece de sedimentos (Thornburg y Kulm, 1987). La corteza continental alcanza espesores superiores a los 50 km, llegando en algunos lugares a superar los 70 km (James, 1971 a,b). La corteza superior está formada por rocas precámblicas, intrusivos ordovícicos, lavas del Paleozoico Superior, rocas sedimentarias marinas mesozoicas, cubiertas por sedimentos continentales del Cretácico, aunque se desconoce la litología de sus partes media e inferior. Datos geofísicos muestran la existencia de una anomalía a nivel de la corteza media (10-50 km) que, probablemente, se relaciona con la presencia de fluidos corticales (Schwarz *et al.*, 1986). Los fluidos serían liberados por el segmento cortical subyacente, debido al engrosamiento que sufrió la corteza a partir del Mioceno (Isacks, 1988; Benjamin *et al.*, 1987).

De acuerdo con los estudios de Isacks (1988), la corteza de la zona central de los Andes experimentó un acortamiento, engrosamiento y alzamiento notable durante el Mioceno inferior a medio. El alzamiento se habría iniciado hace unos 21 Ma (Lahsen, 1982) y acelerado hace unos 15 Ma (Benjamin *et al.*, 1987). Como consecuencia de esta orogénesis, la corteza se habría acortado en unos 250 km; su grosor habría aumentado, en promedio, de unos 40 a unos 65 km y la litósfera subcontinental se habría adelgazado de 140 a 70 km (Isacks, 1988). El aumento relativamente rápido del espesor cortical durante el Mioceno y el ascenso isostático de la región del altiplano habrían sido causados por: a. Un calentamiento y debilitamiento de la corteza en un régimen convergente; b. Un cambio en la velocidad y dirección de la placa, y c. Una compresión posterior por imbricación de la corteza superior.

Las fuentes potenciales que habrían contribuido a crear las características geoquímicas de los magmas de la ZVC de los Andes serían: la corteza oceánica subducida, el manto astenosférico, el manto litósferico, la corteza continental inferior y la corteza superior. Sin embargo, no existe acuerdo en cuanto a la contribución relativa de dichas fuentes. Así, por ejemplo, sobre la base de las variaciones en la composición isotópica y abundancia de los

elementos trazas, desde el Jurásico al Presente, Rogers y Hawkesworth (1989), postularon que los magmas de la ZVC de los Andes se originaron en un manto litósferico antiguo. Sin embargo, sobre la base de las variaciones geoquímicas observadas en sentido norte-sur, las que se correlacionan con la edad y composición de la corteza, en este trabajo se estima que es la corteza, y no una fuente litosférica, o una subducción de sedimentos, o la erosión tectónica, la causa más probable de las variaciones observadas.

Estudios geoquímicos realizados en la región de los Nevados de Payachata ($18^{\circ}10'S$; Wörner *et al.*, 1988; Davidson *et al.*, 1990) permitieron detectar, en las rocas volcánicas, contenidos elevados de Sr, Ba y otros elementos trazas, junto con razones $^{208}Pb/^{204}Pb$ significativamente bajas. Con el objeto de evaluar si estas características composicionales son comunes a otros centros volcánicos de la ZVC, se tomaron muestras de 31 centros (incluyendo aquéllos de la región de los Nevados de Payachata) ubicados entre las latitudes $17^{\circ}30' y 22^{\circ}S$ (Fig. 1). De las muestras recolectadas en terreno, la mayoría de las cuales cuentan con control estratigráfico (basado en criterios morfológicos y relaciones de contactos, (Horn, 1991), se seleccionaron 290 para ser analizadas por elementos mayores y trazas (117 de estos análisis aparecen en la Tabla 1, con excepción de aquéllos de la región de los Nevados de Payachata, publicados en Wörner *et al.*, 1988 y Davidson *et al.*, 1990). El número de muestras analizadas por centro varía entre 1 (volcán monogenético El Rojo Sur) y 132 (Nevados de Payachata). Las composiciones isotópicas de Sr se determinaron en 67 de las muestras que aparecen en la Tabla 1, las de Nd en 3, las de Pb en 44 y las de O en 33. Los métodos analíticos empleados aparecen en el Apéndice 1. Las muestras analizadas son, en su mayoría, de rocas volcánicas cuaternarias.

Los objetivos principales de este trabajo son: 1. Documentar la composición química e isotópica disponible, no documentada previamente, de los centros volcánicos estudiados, y 2. Evaluar el aporte cortical a las características geoquímicas de los magmas de la ZVC de los Andes.

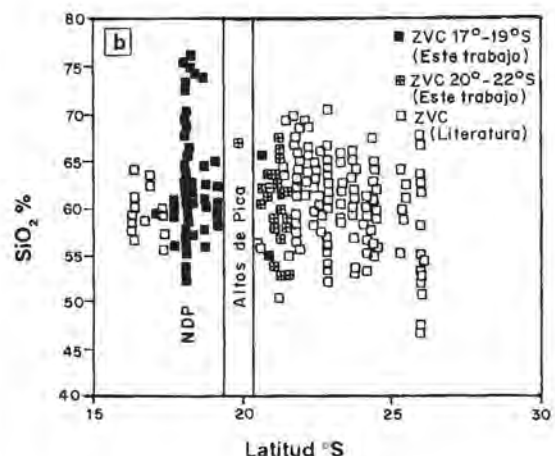
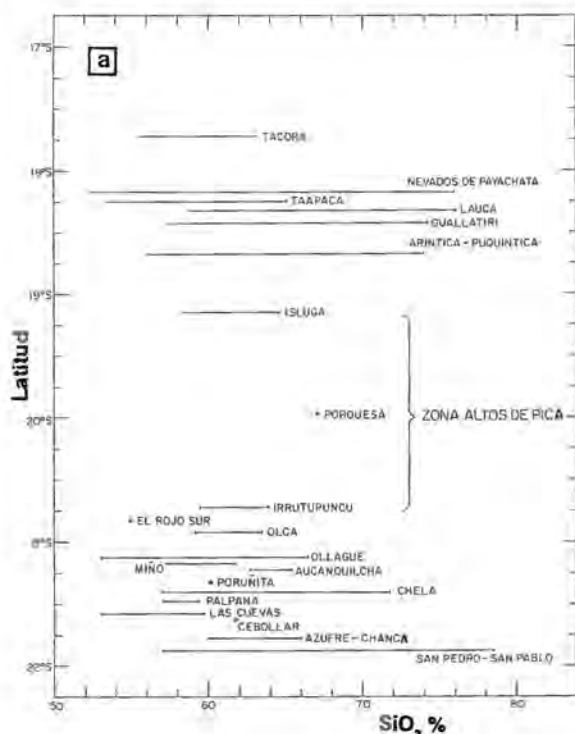


FIG. 2. a. Variación del contenido de SiO_2 con la latitud en la zona de estudio (17° - 22° S); b, Variación del contenido de SiO_2 con la latitud entre 16° y 28° S. Nota: Las fuentes bibliográficas, de donde se tomaron datos, se muestran con asterisco en la sección Referencias,

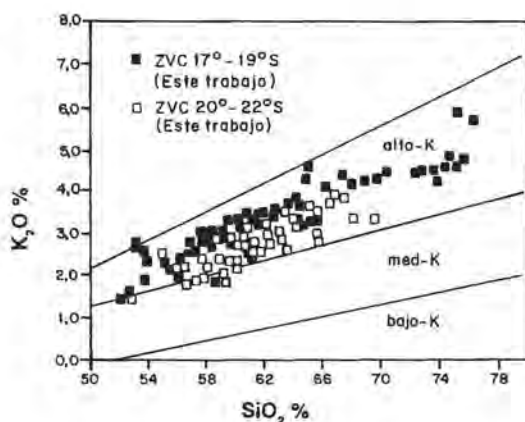


FIG. 3. Diagrama de variación K_2O - SiO_2 . Nótese que aun cuando todas las muestras analizadas del frente volcánico de los Andes Centrales se ubican en el campo de las rocas volcánicas subalcalinas, ricas en K, de Peccerillo y Taylor (1976), las rocas de los centros volcánicos ubicados al norte de la zona de los Altos de Pica ($19^{\circ}10'$ - $20^{\circ}40'$ S) tienden a presentar contenidos de K_2O más elevados que las pertenecientes a centros ubicados al sur de dicha zona.

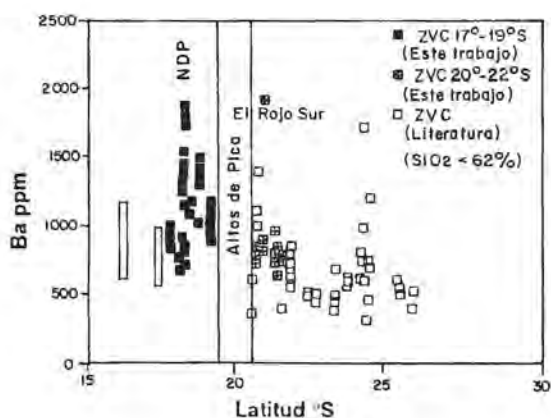


FIG. 4. Contenido de Ba en función de la latitud, entre $16^{\circ}30'$ y 26° S, de rocas pertenecientes al frente de la ZVC de los Andes. Nótense los contenidos anormalmente altos de este elemento en la región de los Nevados de Payachata (NDP; $18^{\circ}10'$ S) y en el cono monogenético El Rojo Sur ($20^{\circ}50'$ S).

ELEMENTOS MAYORITARIOS Y TRAZAS

El número de muestras analizadas por centro volcánico (Tabla 1), salvo excepciones (Nevados de Payachata, por ejemplo) es insuficiente para obtener líneas de regresión que permitan estimar los valores geoquímicos «de base» (Hildreth y Moorbath, 1988). Por tal motivo, la discusión de este trabajo se basa en la comparación de muestras con contenidos de SiO_2 igual al 62%, libres de volátiles y normalizadas al 100%.

Sobre la base de nuestros datos y de datos publicados en la literatura (ver referencias marcadas con asterisco), las siguientes características geoquímicas son relevantes a lo largo de la cadena:

1. El contenido de SiO_2 fluctúa entre un 52 y un 78% (Tabla 1, Fig. 2), pero la mayoría de las lavas presentan contenidos que se ubican en el intervalo 58-65%. Las lavas de los escasos conos monogenéticos del área son andesítico-basálticas, en cambio las de los grandes estratovolcanes varían de andesita a riodacita. Las riolitas son comparativamente escasas en el volcanismo cuaternario de esta

región.

2. Para contenidos de SiO_2 iguales al 62%, las rocas ubicadas al norte de la región de los Altos de Pica (17° - $19^{\circ}09'S$) tienden a ser más ricas en K y Ba (Figs. 3-4), que son elementos litófilos de radio iónico grande (LILE), y en Ti y Zr (Figs. 5-7), que son elementos de alta densidad de carga (HFSE), que las ubicadas al sur de dicha región ($20^{\circ}44'$ - $22^{\circ}S$). Un caso extremo de enriquecimiento en estos elementos se observa en algunas rocas de la región de los Nevados de Payachata ($18^{\circ}S$; Wörner *et al.*, 1988; Davidson *et al.*, 1990).

Sobre la base de las características antes mencionadas se definen dos sectores en la ZVC de los Andes, el septentrional o norte, que se extiende entre las latitudes 16° - $19^{\circ}09'S$ y el meridional o sur, ubicado entre $20^{\circ}44'$ y $28^{\circ}S$. Ambos sectores están separados por la zona de los Altos de Pica ($19^{\circ}09'$ - $20^{\circ}44'S$), que es un área prácticamente libre de volcanismo cuaternario, con excepción del domo Porquesa, cuya edad es plio-pleistocena.

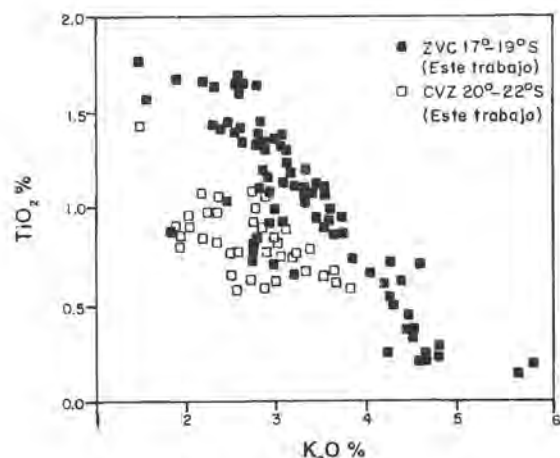


FIG. 5. Diagrama de variación TiO_2 - K_2O . En él se observa que los centros volcánicos ubicados al norte de la zona de los Altos de Pica tienden a ser también más ricos en Ti que los ubicados al sur de dicha zona.

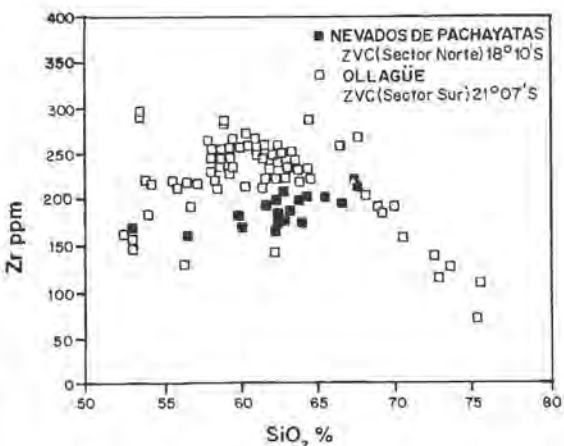


FIG. 6. Diagrama de variación Zr- SiO_2 . En él se puede apreciar que las rocas volcánicas de los Nevados de Payachata, ubicados en el sector norte de la ZVC ($18^{\circ}10'S$), tienden a presentar, para un valor dado de SiO_2 , contenidos más elevados de Zr que las del volcán Ollagüe, ubicado en el sector sur de la ZVC ($21^{\circ}18'S$).

COMPOSICION ISOTOPICA

En el sector septentrional, las razones isotópicas $^{87}\text{Sr}/^{86}\text{Sr}$ varían entre 0,7065 y 0,7075, pero el intervalo composicional es más amplio en el sector meridional (0,7055-0,7090; Harmon *et al.*, 1984; Tabla 1; Fig. 8).

Las razones isotópicas $^{206}\text{Pb}/^{204}\text{Pb}$ y $^{208}\text{Pb}/^{204}\text{Pb}$ son significativamente más bajas en el sector norte que en el sur (Tabla 1; Figs. 9a y 9c). El aumento de estas razones hacia el sur es gradual. Aunque las razones isotópicas $^{208}\text{Pb}/^{204}\text{Pb}$ de rocas del sur del Perú, son semejantes a aquéllas de las rocas del sector sur de la ZVC, las rocas volcánicas de la

región de los Nevados de Payachata (18°S) presentan razones isotópicas $^{208}\text{Pb}/^{204}\text{Pb}$ singularmente bajas (Fig. 9c). Las razones isotópicas $^{207}\text{Pb}/^{204}\text{Pb}$ son, en cambio, semejantes a lo largo de la ZVC (Fig. 9b).

A pesar de estar situado en el sector sur de la ZVC, el centro volcánico monogenético, conocido como El Rojo Sur ($20^{\circ}50'\text{S}; 68^{\circ}37'\text{W}$), se caracteriza por estar enriquecido en elementos trazas incompatibles (LILE y HFSE; Tabla 1) y presentar razones isotópicas $^{206}\text{Pb}/^{204}\text{Pb}$ bajas (Fig. 9a), características que son típicas de los productos de los centros volcánicos del sector septentrional.

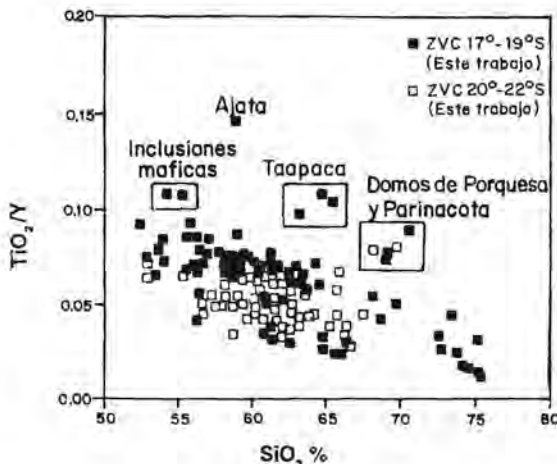


FIG. 7. Diagrama de variación $\text{TiO}_2/\text{Y}-\text{SiO}_2$. En él no sólo se observan diferencias significativas entre los centros ubicados, respectivamente, al norte y sur de la zona de los Altos de Pica, sino que también se puede apreciar la composición de muestras no usuales como son las inclusiones contenidas en flujos andesíticos y domos dacíticos de los volcanes Parinacota, Taapaca y Porquesa.

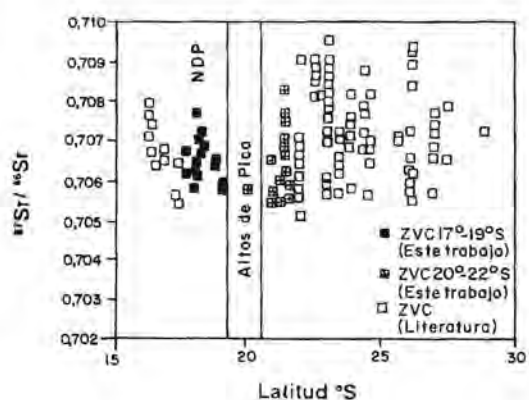


FIG. 8. Comportamiento de la razón isotópica $^{87}\text{Sr}/^{86}\text{Sr}$ en rocas pertenecientes al frente de la ZVC de los Andes. Nótese que al norte de la zona de los Altos de Pica, el valor de esta razón es poco variable dentro de un determinado centro volcánico, pero al sur de ella, algunos centros volcánicos presentan una variabilidad alta en el valor de dicha razón.

DISCUSION Y CONCLUSIONES

Los datos geoquímicos, presentados en la Tabla 1 y graficados en las figuras 2-10, permiten visualizar diferencias químicas e isotópicas significativas entre las rocas volcánicas modernas de los sectores norte ($16^{\circ}-19^{\circ}09'\text{S}$) y sur ($20^{\circ}44'-28^{\circ}\text{S}$) de la ZVC de los

Andes. En efecto, si bien las rocas de ambos sectores tienen razones isotópicas $^{87}\text{Sr}/^{86}\text{Sr}$ notablemente más elevadas que las de rocas derivadas del manto astenosférico, en el sector norte es común observar que dichas razones permanecen aproximadamente

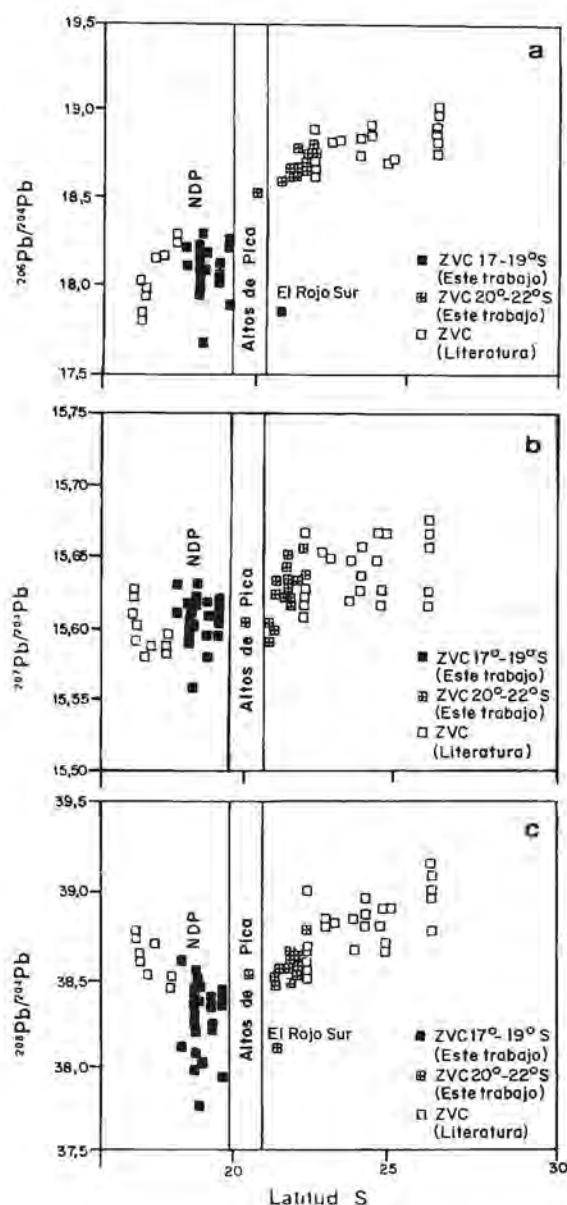


FIG. 9. Conducta de las razones isotópicas $^{208}\text{Pb}/^{204}\text{Pb}$, $^{207}\text{Pb}/^{204}\text{Pb}$ y $^{206}\text{Pb}/^{204}\text{Pb}$ en rocas pertenecientes al frente de la ZVC de los Andes. Nótense las diferencias significativas en el valor de las razones $^{208}\text{Pb}/^{204}\text{Pb}$ y $^{206}\text{Pb}/^{204}\text{Pb}$ al norte y sur de la zona de los Altos de Pica.

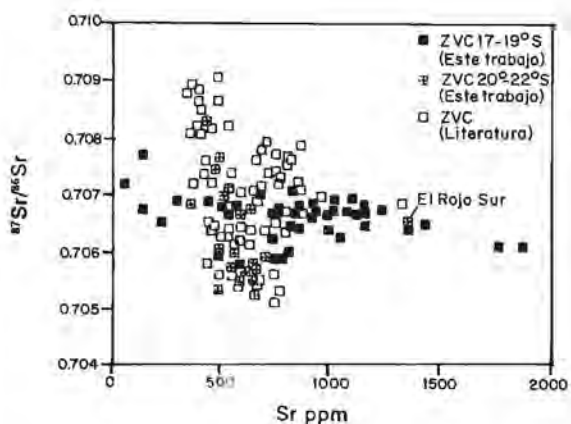


FIG. 10. Diagrama de variación $^{87}\text{Sr}/^{86}\text{Sr}$ -Sr. Este diagrama también ilustra las diferencias significativas existentes entre los centros volcánicos ubicados al norte y sur de la zona de los Altos de Pica. Mientras en los primeros existe poca variabilidad en el valor de la razón $^{87}\text{Sr}/^{86}\text{Sr}$ al cambiar el contenido de Sr, en algunos centros de la zona sur, dicha razón es altamente sensible a las variaciones de este elemento.

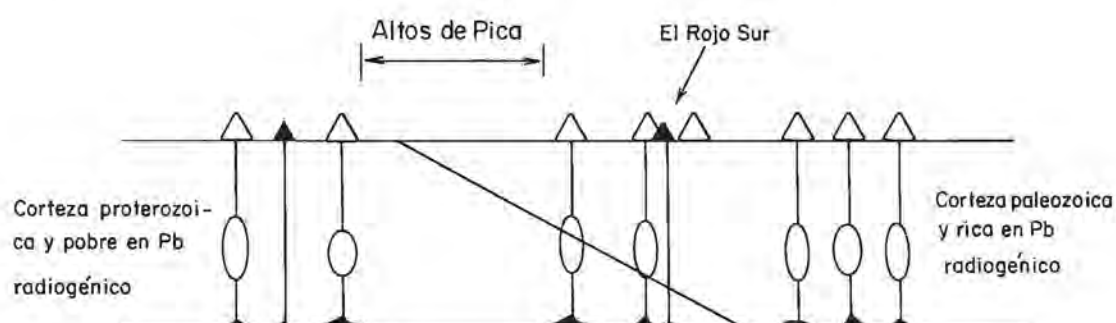


FIG. 11. Ilustración esquemática del modelo de subducción del dominio cortical norte bajo el dominio cortical sur a la altura de la zona de los Altos de Pica y de la ubicación de las zonas de interacción magma-corteza tipo MASH.

constantes al variar el grado de diferenciación (Tabla 1; Fig. 10). En el sector sur, en cambio, sólo en algunos centros volcánicos la razón isotópica $^{87}\text{Sr}/^{86}\text{Sr}$ permanece constante al aumentar el grado de diferenciación; en otros tiende a ser mayor al aumentar el contenido de SiO_2 y disminuir el de Sr.

Las razones isotópicas $^{206}\text{Pb}/^{204}\text{Pb}$ y $^{208}\text{Pb}/^{204}\text{Pb}$ de las rocas volcánicas del sector norte de la ZVC son, en general, significativamente más bajas que las de las rocas del sector sur. Los valores extremadamente bajos encontrados en rocas volcánicas de la región de los Nevados de Payachata (Wörner *et al.*, 1988; Fig. 9c) son semejantes a los encontrados en rocas del basamento de Arequipa y esquistos de Belén (Tilton y Barreiro, 1980; Damm y Todt, 1986).

Los sectores norte y sur muestran también diferencias en el comportamiento de algunos elementos mayoritarios y trazas. Por ejemplo, si bien todas las rocas volcánicas modernas de la ZVC de los Andes son ricas en K, las del sector norte superan a las del sector sur no sólo en este elemento, sino que también en Ba, Ti y Zr (Figs. 4-7).

Teniendo en cuenta: a. Que en el sector de la ZVC de los Andes comprendido entre las latitudes $17^{\circ}30'\text{S}$ y $22^{\circ}00'\text{S}$, la zona de subducción, la distancia del frente volcánico a la fosa, la distancia a la zona de Benioff, y el espesor de la corteza se mantienen aproximadamente constantes, y b. Que, en dicho sector, las únicas variables geofísicas de importancia son la edad y composición de la corteza, la cual es proterozoica y con escaso Pb radiogénico en el norte (Arequipa y Belén; Pacci *et al.*, 1980; Tilton y Barreiro, 1980; Damm y Todt, 1986) y paleozoica y más rica en Pb radiogénico en el sur (Bahlburg *et al.*, 1988), se propone que las diferencias geoquímicas, arriba señaladas, reflejan más bien variaciones corticales que variaciones controladas por el manto superior o la zona de subducción.

En este contexto, el modelo que se sugiere difiere del propuesto por Hawkesworth y Ellam (1989) y Rogers y Hawkesworth (1989, 1990), quienes atribuyen al manto litosférico un rol primordial en la génesis de las características geoquímicas presentadas por las rocas de la ZVC de los Andes. En realidad, argumentos de carácter térmico, geoquímico y tectónico permiten cuestionar, por una parte, que el manto litosférico haya sido la fuente principal de los magmas de la ZVC y, por otra, que el potencial contaminante de dicha porción de manto sea elevado (Stern, 1990; Davidson *et al.*, 1990).

El presente modelo se asemeja, más bien, al modelo de MASH (fusión-asimilación-almacenamiento-homogenización) propuesto por Hildreth y Moorbath (1988). Estos autores, sobre la base de un estudio realizado entre las latitudes 33° y $37^{\circ}30'\text{S}$ de la ZVS de los Andes, concluyeron que las variaciones geoquímicas observadas en este sector del arco volcánico de los Andes del Sur son función de las variaciones en el grosor cortical, puesto que la geometría de la zona de subducción, la edad de la corteza oceánica subducida, la naturaleza y abundancia de los sedimentos en la fosa son aproximadamente constantes. Pero, el modelo que se propone difiere del de Hildreth y Moorbath al estimar que las diferencias geoquímicas observadas entre los sectores norte y sur del frente volcánico de la ZVC de los Andes reflejan variaciones en la edad y composición de la corteza y no en el grosor de ella, puesto que este último parámetro se mantiene aproximadamente constante a lo largo de todo frente estudiado.

Las variaciones locales en la composición de los magmas sugieren una evolución de la zona de MASH en respuesta al aumento del espesor cortical (Wörner *et al.*, 1988; Davidson *et al.*, 1990), ocurrida durante el Mioceno inferior a medio (Isacks, 1988). Esta evolución incluiría la desintegración de minerales, como plagioclasa y anfibola, y/o diversos grados de fusión parcial de la corteza inferior.

La información aportada por las andesitas basálticas de los centros monogenéticos de uno y otro sector permite apreciar el rol de la corteza en la determinación de las características químicas de los magmas del frente volcánico de la ZVC de los Andes. Un caso de interés, al respecto, es el del cono monogenético El Rojo Sur. Este, a pesar de estar ubicado en el sector sur ($20^{\circ}50'\text{S}$; Fig. 1), presenta lavas con razones $^{87}\text{Sr}/^{86}\text{Sr}$ y $^{208}\text{Pb}/^{204}\text{Pb}$ tan bajas como las observadas en centros del sector norte (Figs. 8 y 9a). Además, al igual que en dichos centros, El Rojo Sur está Enriquecido en elementos incompatibles en comparación con las lavas del sector sur. Suponiendo que es la corteza la que controla las composiciones isotópicas de los magmas del frente volcánico de la ZVC, los sistemas magnéticos pequeños conservarían las características del dominio cortical norte, en cambio los grandes estratovolcanes, mostrarían una incorporación paulatina del dominio cortical sur.

Se estima que los magmas más máficos provienen de niveles más profundos del MASH y sus

características geoquímicas estarían determinadas por procesos llevados a cabo en la base de la corteza. Aparentemente, ambos ambientes estarían representados en la columna vertical del sector sur, encontrándose el material típico del sector norte en la base de la corteza. Se supone, como se indica en

la figura 11, que en la región de los Altos de Pica, el dominio cortical norte se introduce bajo el dominio cortical sur, acuñándose en la base de la corteza. Los magmas de El Rojo Sur provendrían de esta última zona.

AGRADECIMIENTOS

Este trabajo fue financiado con el aporte Wo-362/1-1 de la Deutsche Forschungsgemeinschaft (DFG) otorgado a G.W. Los autores agradecen la hospitalidad y ayuda otorgada por CONAF (I Región) durante el desarrollo del proyecto. L.L-E agradece al DTI-Universidad de Chile la ayuda prestada a través del proyecto E-2834, a la Fundación Andes la beca del Programa de Períodos Sabáticos (1990-1991), que hizo posible su estadía en el NERC Isotope

Geosciences Laboratory, Keyworth, Nottingham, UK y a la Dirección de Investigación de la Facultad de Ciencias Físicas y Matemáticas de la Universidad de Chile por el apoyo económico otorgado durante su estadía en Keyworth. Este trabajo es una contribución al Proyecto IGCP 249, Magmatismo Andino y su Ambiente Tectónico y constituye la contribución N° 58 del NERC Isotope Geosciences Laboratory.

APENDICE 1

METODOS ANALITICOS

El contenido de elementos mayoritarios y trazas de las muestras seleccionadas se determinó por fluorescencia de rayos-X en los laboratorios geoquímicos de las Universidades de Bochum y Mainz. El contenido de H₂O fue determinado por titulación, siguiendo el método de Karl Fischer. Los contenidos de Fe⁺² y Fe⁺³ se obtuvieron por titulación potenciométrica. Las razones isotópicas radiogénicas fueron determinadas por dilución isotópica, seguida por espectrografía de masas, en la Universidad de Oxford. Más detalles sobre las técnicas analíticas se encuentran en Wörner *et al.* (1988).

Con el propósito de evaluar los análisis inter-laboratorios, 25 muestras fueron analizadas simultáneamente en los laboratorios de Mainz y Bochum. Los resultados obtenidos en ambos laboratorios son similares, tanto para los elementos mayoritarios como trazas. Sólo en el caso del Nb se observaron diferencias, no sistemáticas, para contenidos inferiores a 20 ppm. Los valores de Nb, obtenidos en Bochum, fueron corregidos empíricamente. Sin embargo, debido a que dichos valores son invariablemente bajos y cercanos al límite de detección, se estimó que eran aceptables dentro de un margen de error de ± 2 ppm. La corrección no afecta a este error en forma sistemática.

TABLA 1. ANALISIS QUIMICOS E ISOTOPICOS DE MUESTRAS DEL VOLCANISMO CUATERNARIO DE LOS ANDES CENTRALES ENTRE LAS LATITUDES 17° y 22°S

VOLCAN TACORA (17°43'S; 69°47'W)									VOLCAN TAAPACA (18°15'S; 69°30'W)							
No. Muestra	TAC-006 Andesita basática	TAC-003 Andesita c/anfibola	TAC-005 Andesita silícea c/anfibola	TAC-001 Andesita silícea c/anfibola	TAC-002 Andesita silícea c/anfibola	TAC-004 Andesita silícea c/anfibola	TAC-008 Andesita silícea	TAC-007 Dacita	TAP-003 Inclusión	TAP-092 Inclusión	TAP-006 Andesita silícea Bomba	TAP-007 Andesita silícea Lava	TAP-004 Andesita silícea	TAP-005 Dacita Bomba	TAP-001 Dacita Domo	
SiO ₂	55,68	59,06	60,15	60,25	60,75	61,25	62,54	63,14	53,39	54,68	62,14	62,14	62,94	64,93	65,03	
TiO ₂	1,31	0,90	0,87	0,87	0,92	0,91	0,56	0,60	1,81	1,81	0,71	0,75	0,98	0,72	0,86	
Al ₂ O ₃	16,98	17,80	17,73	17,61	17,68	17,30	15,33	17,20	16,70	17,01	17,34	16,90	16,19	16,54	16,35	
Fe ₂ O ₃ (T)	7,80	6,45	6,22	6,16	6,05	5,83	5,26	4,64	8,42	8,19	4,87	5,26	5,21	4,07	4,49	
MnO	0,11	0,10	0,10	0,09	0,09	0,08	0,09	0,09	0,09	0,09	0,07	0,08	0,07	0,05	0,06	
MgO	4,41	2,58	2,73	2,82	2,40	2,44	3,28	1,84	4,27	3,61	2,21	2,41	2,52	1,61	1,86	
CaO	7,09	5,94	5,79	5,80	5,51	5,37	4,96	4,54	6,88	6,51	4,97	4,92	4,55	3,86	4,09	
Na ₂ O	3,84	4,14	4,03	4,22	4,28	4,28	3,24	4,31	4,23	4,30	2,99	3,33	4,28	4,38	4,38	
K ₂ O	2,00	2,14	2,24	2,18	2,37	2,50	3,63	2,71	2,26	2,37	3,51	3,49	2,96	3,26	3,24	
P ₂ O ₅ ppc	0,41	0,34	0,26	0,27	0,31	0,29	0,16	0,26	0,75	0,74	0,21	0,20	0,34	0,23	0,28	
TOTAL	99,63	99,45	100,12	100,07	100,34	100,25	99,15	99,33	98,80	99,31	99,02	99,48	100,04	99,65	100,64	
Rb	46	48	56	54	61	66	156	81	42	40	119	101	84	89	85	
Sr	739	698	633	634	726	686	380	605	1213	1430	593	536	763	786	752	
Ba	894	848	906	821	944	1008	738	928	1286	1380	1016	913	1002	1099	1231	
Pb																
V	182	115	130	137	127	125	105	70	186	170	102	113	111	79	92	
Cr	10	1	4	2	7	103	10		77	45	11	11	65	23	16	
Co	31	29	27	31	36	26	39	31	33	27	26	27	29	24	23	
Ni	30	2	3	5	6	10	31	1	45	28	7	9	24	9	12	
Cu	52	49	22	36	46	49	86	36	45	57	38	44	20	41	31	
Zn	96	89	76	85	83	75	64	76	111	113	79	75	72	66	69	
Y	19	18	17	17	14	14	19	15	17	17	12	12	10	7	8	
Zr	181	170	156	159	175	174	222	199	243	266	157	150	162	158	173	
Nb	10	8	7	8	10	10	8	11	14	17	7	6	8	7	8	
⁸⁷ Sr/ ⁸⁶ Sr	0,70625				0,70668							0,7065			0,70668	
¹⁴³ Nd/ ¹⁴⁴ Nd																
²⁰⁵ Pb/ ²⁰⁴ Pb	18,116				18,223							18,099				
²⁰⁷ Pb/ ²⁰⁴ Pb	15,613				15,632							15,619				
²⁰⁸ Pb/ ²⁰⁴ Pb	38,113				38,619							38,399				
^δ ¹⁸ O	6,8				7,7							7,4			6,9	
Edad (Ma)					0,489										0,082	

Nota: La concentración de los óxidos de los elementos mayoritarios está expresada en % en peso y aquélla de los elementos trazas en ppm. Los métodos empleados para obtener estos datos se indican en el Apéndice 1.
 Los análisis de las muestras de la región de los Nevados de Payachata aparecen en los trabajos de Wörner *et al.* (1988) y Davidson *et al.* (1990).

TABLA 1. Continuación

VOLCAN LAUCA (18°20'S; 69°23'W)									VOLCAN GUALLATIRI (18°25'S; 69°15'W)						
No. Muestra	LAU-005 Andesita c/anfibola	LAU-102 Andesita vitrea	LAU-108 Dacita	LAU-103 Dacita Domo	LAU-105 Dacita vitrolírica	LAU-106 Igimbrita Roca total	LAU-189 Pómez superior Igimbrita basal	LAU-188 Pómez inferior Igimbrita basal	GUL-017 Andesita c/anfibola	GUL-014 Andesita silicea c/anfibola	GUL-004 Andesita silicea Bomba	GUL-015 Andesita silicea	GUL-016 Andesita silicea c/clinopi- roxeno	GUL-002 Andesita silicea c/clinopi- roxeno	GUL-019 Obsidiana Clasto
SiO ₂	58,66	61,45	64,93	65,82	66,22	73,78	74,37	75,07	57,37	60,55	61,55	62,44	62,54	62,74	74,17
TiO ₂	0,75	0,69	0,46	0,54	0,51	0,17	0,17	0,13	1,42	1,11	0,90	1,01	1,03	0,92	0,19
Al ₂ O ₃	18,04	17,67	16,94	16,08	15,90	13,65	13,01	12,52	16,85	16,11	16,91	16,21	16,15	16,40	13,98
Fe ₂ O ₃ (T)	7,24	5,97	3,86	4,49	4,02	1,09	1,24	0,84	7,66	6,17	5,71	5,61	5,71	5,55	1,10
MnO	0,14	0,11	0,10	0,09	0,07	0,07	0,08	0,08	0,09	0,08	0,09	0,08	0,08	0,08	0,06
MgO	2,84	2,10	1,17	1,55	1,51	0,27	0,65	0,29	3,57	2,79	2,15	2,44	2,52	2,20	0,28
CaO	6,55	5,32	3,99	3,74	2,72	0,67	0,82	0,66	5,93	4,98	4,96	4,50	4,64	4,60	1,13
Na ₂ O	3,66	4,24	3,98	3,47	3,63	3,94	2,92	3,49	4,11	4,17	4,11	4,24	4,13	4,06	4,24
K ₂ O	1,81	2,50	3,30	3,70	3,75	4,57	5,78	5,58	2,57	3,02	2,80	3,31	3,36	3,05	4,60
P ₂ O ₅	0,22	0,24	0,19	0,16	0,15	0,03	0,05	0,03	0,49	0,38	0,36	0,36	0,36	0,28	0,02
ppc						1,48		1,32							
TOTAL	99,91	100,29	100,40	99,64	99,48	99,56	99,09	98,69	100,06	99,36	99,54	100,20	100,52	99,88	99,77
Rb	53	74	101	121	121	188	328	374	60	81	76	93	95	87	146
Sr	534	503	429	439	444	41	66	39	1007	830	759	777	781	718	299
Ba	712	844	895	957	911	75	124	62	1292	1171	1079	1230	1236	1065	1228
Pb	13	21			32	42			166	123	88	104	111	96	
V	124	84	31	70	63	1	13		60	43	11	33	44	23	2
Cr	9		3	2	2				34	34	32	35	38	33	5
Co	34	42	31	27	25	27	8	5	32	20	2	15	17	7	
Ni	7	1		6	7	1	6	12	50	33	11	24	33	13	2
Cu	42	30	9	38	39	2	2	6	104	81	85	80	84	81	40
Zn	89	74	65	70	70	38	32	32	18	14	17	15	15	14	12
Y	22	19	19	22	18	13	14	17	216	200	196	228	227	188	144
Zr	164	177	202	160	159	98	92	95	12	12	11	13	12	11	14
Nb	28	29	13	22	14	22	35	39							
⁸⁷ Sr/ ⁸⁶ Sr	0,70665	0,70676			0,70687	0,70719			0,70670		0,70680	0,70673		0,70692	
¹⁴³ Nd/ ¹⁴⁴ Nd	0,51229	0,51233			0,51230				18,093		18,180	18,101		18,071	
²⁰⁶ Pb/ ²⁰⁴ Pb	18,203	18,162			18,176	17,674			15,624		15,619	15,633		15,616	
²⁰⁷ Pb/ ²⁰⁴ Pb	15,615	15,605			15,619	15,560			38,392		38,458	38,453		38,035	
²⁰⁸ Pb/ ²⁰⁴ Pb	38,518	38,357			38,467	37,768			6,6		7,1	7,0			
¹⁸ O	6,9	6,8			8,4	9,5									
Edad (Ma)															

TABLA 1. Continuación

VOLCAN ARINTICA (18°40'S; 69°00'W)

No. Muestra	SUA-007 Andesita silcea c/anfibola	SUA-006 Andesita silcea c/anfibola	SUA-008 Andesita silcea	SUA-013 Riolita
SiO ₂	60,75	61,74	62,84	73,88
TiO ₂	1,13	0,86	0,85	0,24
Al ₂ O ₃	16,21	16,47	16,81	14,18
Fe ₂ O ₃ (T)	5,89	5,64	5,58	1,38
MnO	0,08	0,10	0,09	0,07
MgO	2,56	2,25	1,97	0,39
CaO	4,85	4,81	4,64	1,15
Na ₂ O	4,47	4,07	4,22	4,53
K ₂ O	3,44	2,90	3,08	4,24
P ₂ O ₅	0,44	0,35	0,38	0,04
ppc				
TOTAL	99,82	99,19	100,46	100,10
Rb	79	78	81	112
Sr	1113	815	868	225
Ba	1497	1192	1265	1276
Pb				
V	102	94	84	8
Cr	54	16	5	2
Co	31	27	30	60
Ni	18	4		
Cu	37	29	25	4
Zn	95	80	75	42
Y	15	18	15	10
Zr	274	203	206	178
Nb	13	13	12	14
⁸⁷ Sr/ ⁸⁶ Sr				
¹⁴³ Nd/ ¹⁴⁴ Nd				
²⁰⁶ Pb/ ²⁰⁴ Pb				
²⁰⁷ Pb/ ²⁰⁴ Pb	18,132			18,135
²⁰⁸ Pb/ ²⁰⁴ Pb	15,612			15,621
$\delta^{18}\text{O}$	38,994			38,401
Edad (Ma)	0,637			7,4

VOLCAN PUQUINTICA (18°40'S; 69°00'W)

SUP-022 Andesita	SUP-025 Andesita africa	SUP-015 Andesita c/clinopi- roxeno	SUP-020 Andesita silicea c/hornblenda	SUP-021 Andesita silicea c/hornblenda	SUP-019 Andesita silicea	SUP-023 Andesita silicea
55,98	55,98	57,67	60,45	60,45	60,55	63,93
1,50	1,45	1,32	0,97	0,97	0,92	0,78
17,12	17,32	16,27	17,22	17,23	17,12	16,51
8,18	7,88	7,25	6,26	6,23	6,00	4,52
0,11	0,10	0,09	0,10	0,10	0,10	0,08
3,40	3,64	3,81	2,45	2,39	2,24	1,77
6,74	6,42	5,96	5,35	5,40	5,30	3,85
3,93	4,33	4,01	4,29	4,36	4,15	4,29
1,96	2,36	2,87	2,74	2,74	2,76	3,35
0,59	0,53	0,46	0,46	0,46	0,44	0,28
99,51	100,01	99,71	100,29	100,33	99,58	99,36
39	42	67	64	65	65	81
918	1207	1054	1146	1164	1130	858
1003	1332	1271	1423	1397	1357	1509
194	164	148	107	112	102	68
4		89	5	5		16
35	40	34	29	31	29	27
11	16	33	3	5		8
30	41	47	18	21	22	23
126	97	92	86	85	82	76
27	17	17	15	17	17	13
195	203	227	207	205	207	262
13	13	13	14	13	13	14
0,70659			0,70648			0,70643
18,134			18,019			18,057
15,621			15,597			15,581
38,365			38,247			38,226
6,5	6,9		6,5			7,4
		0,486				

TABLA 1. Continuación

VOLCAN ISLUGA (19°09'S; 58°50'W)																
No. Muestra	UNIDAD-1				UNIDAD-2		UNIDAD-3									UNIDAD-7
	IS1-005 Andesita c/clinopi- roxeno +hornblenda	IS1-016 Andesita c/piroxeno	IS1-006 Andesita c/clinopi- roxeno	IS1-022 Andesita vítreo	IS2-016 Andesita silícea	IS2-012 Andesita silícea Lava	IS3-042 Andesita Pómez	IS3-010 Andesita silícea	IS3-026 Andesita silícea	IS3-035 Andesita silícea	IS3-025 Andesita silícea	IS3-029 Andesita silícea	IS3-030 Andesita silícea	IS3-046 Andesita silícea	IS3-045 Andesita silícea c/piroxeno	ISX-099 Dacita
SiO ₂	58,36	60,55	62,64	64,53	60,35	60,75	59,16	60,05	60,45	60,45	60,55	60,75	60,85	60,95	62,24	64,63
TiO ₂	1,32	1,07	0,94	0,71	1,09	1,06	1,18	1,09	1,05	1,06	1,07	0,91	0,90	1,13	0,99	0,71
Al ₂ O ₃	16,83	17,09	16,26	15,74	17,05	16,85	16,65	17,06	16,94	16,72	17,12	17,42	17,97	16,36	16,49	15,67
Fe ₂ O ₃ (T)	7,35	6,43	5,69	4,65	6,60	6,48	7,00	6,61	6,37	6,54	6,42	5,88	5,87	6,39	5,85	4,71
MnO	0,10	0,10	0,09	0,07	0,10	0,10	0,10	0,10	0,10	0,10	0,10	0,10	0,10	0,09	0,09	0,07
MgO	3,19	2,37	2,15	1,99	2,42	2,37	2,97	2,39	2,31	2,70	2,35	2,08	1,99	2,78	2,23	1,96
CaO	5,97	5,41	4,66	3,94	5,55	5,35	5,58	5,48	5,47	5,35	5,26	5,13	5,25	5,33	4,76	3,98
Na ₂ O	3,95	4,26	3,75	3,51	3,96	4,41	3,90	3,94	4,06	3,73	4,00	4,12	4,33	4,08	3,90	3,18
K ₂ O	2,61	2,90	3,44	4,22	2,78	2,91	2,81	2,82	2,88	2,87	2,93	2,91	2,88	3,09	3,32	4,57
P ₂ O ₅	0,41	0,40	0,35	0,20	0,42	0,41	0,39	0,42	0,41	0,38	0,40	0,43	0,41	0,37	0,35	0,20
ppc																
TOTAL	100,09	100,58	99,97	99,56	100,32	100,69	99,74	99,96	100,05	99,90	100,2	99,73	100,55	100,57	100,22	99,68
Rb	80	93	117	166	88	92	90	90	96	91	94	96	82	102	111	167
Sr	712	733	632	494	744	731	706	738	717	659	714	779	766	812	679	504
Ba	874	982	1031	939	1058	1081	991	1054	998	922	965	1088	1096	933	1074	1007
Pb																
V	160	112	97	85	116	126	134	115	110	122	111	86	80	126	107	90
Cr	9	5	5	23	4	5	14	7	1	12	6	1	1	28	5	12
Co	34	34	27	37	27	36	36	31	31	34	35	29	27	28	32	32
Ni	8		4	8		1	10	1	1	8		1		10	6	12
Cu	33	13	18	30	11	32	22	11	9	17	10	87	14	26	26	35
Zn	95	92	72	64	89	88	81	88	90	78	97	130	80	82	78	64
Y	18	18	19	27	17	18	19	18	17	18	15	18	19	17	18	22
Zr	214	221	233	222	219	219	226	220	223	191	221	219	226	212	225	229
Nb	13	14	13	11	13	13	14	13	13	13	13	14	14	14	14	12
⁸⁷ Sn/ ⁸⁶ Sn				0,70593		0,70585		0,70589				0,70589	0,70590	0,70600		
¹⁴³ Nd/ ¹⁴⁴ Nd																
²⁰⁶ Pb/ ²⁰⁴ Pb				18,264		17,888		18,248				18,243	18,228	18,255		
²⁰⁷ Pb/ ²⁰⁴ Pb				15,615		15,597		15,610				15,617	15,604	15,622		
²⁰⁸ Pb/ ²⁰⁴ Pb				38,439		37,946		38,366				38,410	38,369	38,434		
$\delta^{18}\text{O}$				7,2		8,0		7,3				6,6		6,7		
Edad(Ma)														0,096		

TABLA 1. Continuación

TABLA 1. Continuación

VOLCAN OLCA (20°56'S; 68°30'W)							VOLCAN MIÑO (21°11'S; 68°35'W)				VOLCAN AUCANQUILCHA (21°13'S; 68°28'W)			
No. Muestra	OLC-006 Andesita	OLC-007 Andesita silcea c/clinopi- roxeno+ anfibola	OLC-001 Andesita silcea Lava	OLC-003 Andesita silcea Lava	OLC-005 Andesita c/anfibola	OLC-004 Dacita c/piroxeno +anfibola	MIN-004 Andesita	MIN-007 Andesita c/anfibola	MIN-008 Andesita c/piroxeno + anfibola	MIN-002 Andesita silcea	AUC-004 Andesita silcea Lava	AUC-003 Dacita c/biotita +hornblenda	AUC-001 Dacita Lava	AUC-007 Dacita
SiO ₂	59,10	60,61	60,92	61,39	62,27	63,46	57,26	58,96	59,77	61,78	62,73	63,24	64,58	65,25
TiO ₂	1,04	0,84	0,84	0,80	0,74	0,66	0,85	0,83	0,82	0,64	0,59	0,85	0,62	0,60
Al ₂ O ₃	16,99	17,13	17,63	17,36	16,92	16,69	17,32	17,50	17,83	16,89	17,62	16,24	16,10	16,43
Fe ₂ O ₃ (T)	7,06	6,19	5,85	5,64	5,41	4,66	6,87	6,35	6,40	5,25	5,90	5,53	3,90	3,90
MnO	0,09	0,10	0,08	0,08	0,08	0,07	0,10	0,09	0,10	0,08	0,07	0,08	0,07	0,06
MgO	3,73	2,39	2,59	2,25	2,44	1,98	3,78	3,47	3,22	2,78	1,53	2,47	1,87	1,61
CaO	5,97	5,40	5,07	4,96	4,83	4,15	6,53	6,14	6,09	4,98	4,90	4,73	3,83	3,86
Na ₂ O	4,11	4,15	4,05	4,48	4,39	4,39	3,83	4,08	4,44	4,05	4,53	4,17	4,37	4,63
K ₂ O	2,47	2,76	2,97	2,74	2,73	3,17	2,19	2,37	1,98	2,69	2,52	3,16	2,94	2,81
P ₂ O ₅	0,27	0,28	0,22	0,24	0,20	0,20	0,24	0,23	0,24	0,20	0,19	0,25	0,18	0,17
ppc	0,19	0,51	0,69	0,76	0,80	0,97	2,43	0,98	0,21	1,06	0,81	0,23	1,56	0,98
TOTAL	101,02	100,36	100,91	100,70	100,81	100,40	101,40	101,00	101,08	100,40	98,39	100,95	100,02	100,30
Rb	71	95	90	93	100	110	49	47	48	62	76	97	83	76
Sr	654	657	621	692	585	654	662	684	700	596	684	605	567	588
Ba	796	825	892	863	801	976	705	756	774	794	929	919	1030	977
Pb			15	13	14	16	11	11	10	11	12	11	13	13
V	136	90	103	89	89	87	124	129	141	94	103	113	72	76
Cr	62	11	21	14	17	17	53	54	57	55	19	45	31	20
Co	18	12	20	27	10	40	33	35	52	12	11	54	20	42
Ni	18	7	12	7	10	8	20	19	21	18	17	14	10	8
Cu	51	31	47	31	42	48	50	48	60	44	112	45	36	46
Zn	94	71	74	79	69	71	77	79	79	74	66	79	89	80
Y	21	20	22	15	17	15	17	15	16	13	14	18	11	9
Zr	189	187	208	176	162	174	146	141	145	140	155	178	158	139
Nb	10	10	10	10	9	9	7	8	7	7	6	10	8	7
⁸⁷ Sr/ ⁸⁶ Sr	0,70580	0,70573	0,70565	0,70561	0,70547	0,70547	0,70576			0,70550			0,70604	
¹⁴³ Nd/ ¹⁴⁴ Nd										18,650			18,678	
²⁰⁶ Pb/ ²⁰⁴ Pb	18,676	18,632			18,632					15,623			15,624	
²⁰⁷ Pb/ ²⁰⁴ Pb	15,636	15,626			15,606					38,591			38,566	
²⁰⁸ Pb/ ²⁰⁴ Pb	38,559	38,528			38,504					7,3				
¹⁸ O		6,3												
Edad (Ma)														

TABLA 1. Continuación

VARIACIONES GEOQUÍMICAS, LOCALES Y REGIONALES, EN EL FRENTE VOLCANICO CUAUHTEMOC...

TABLA 1. Continuación

TABLA 1. Continuación

REFERENCIAS

- Bahlburg, H.; Breitkreuz, C.; Gies, P. 1988. The southern Central Andes. Contributions to structure and evolution of an active continental margin. In *Lecture Notes in Earth Sciences No. 17. Springer Verlag Heidelberg*, 261 p. Berlin.
- Baker, M.C.W.; Francis, P.W. 1978. Upper Cenozoic volcanism in the Central Andes: Ages and volumes. *Earth and Planetary Science Letters*, Vol. 41, p. 175-187.
- Barreiro, B.A. Clark, A.H. 1984. Lead isotopic evidence for evolutionary changes in magma-crust interaction, central Andes, southern Peru. *Earth and Planetary Science Letters*, Vol. 69, No. 1, p. 30-42. (*)
- Benjamin, M.T.; Johnson, N.M.; Naeser, C.W. 1987. Recent rapid uplift in the Bolivian Andes: Evidence from fission-track dating. *Geology*, Vol. 15, p. 680-683.
- Damm, K.W.; Todt, W. 1986. Geochemie, Petrologie und Geochronologie der Plutonite und des metamorphen Grundgebirges in Nordchile. In *Forschungsberichte aus den zentralen Anden (21°-25°S)* und aus dem Atlas-system (Marokko) 1981-1985. Forschungsgruppe: Mobilität aktiver Kontinentalränder (Giese, P.), *Berliner Geowissenschaftliche Abhandlungen, Reihe A: Geologie und Paläontologie*, Vol. 66, No. 1, p. 73-146.
- Davidson, J.P.; McMillan, N.J.; Moorbath, S.; Wörner, G.; Harmon, R.S.; López-Escobar, L. 1990. The Nevados de Payachata volcanic region (18°S/69°W, N. Chile). 2. Evidence for widespread crustal involvement in Andean Magmatism. *Contributions to Mineralogy and Petrology*, Vol. 105, p. 412-432.
- De Silva, S.L. 1989. Altiplano-Puna complex of the Central Andes. *Geology*, Vol. 17, p 1102-1106.
- Déruelle, B. 1982. Petrology of the Plio-Quaternary volcanism of the South-Central and Meridional Andes. *Journal of Volcanology and Geothermal Research*, Vol. 14, p. 77-124. (*)
- Fernández, A.; Hörmann, P.K.; Kussmaul, S.; Meave, J.; Pichler, H.; Subieta, T. 1973. First Petrologic Data on Young Volcanic Rocks of SW-Bolivia: *Tschermaks Mineralogische und Petrographische Mitteilungen*, Vol.19, No. 3, p.149-172. (*)
- Francis, P.W.; Moorbath, S.; Thorpe, R.S. 1977. Sr-isotope data for recent andesites in Ecuador and North Chile. *Earth and Planetary Science Letters*, Vol. 37, p. 197-202. (*)
- Francis, P.W.; Roobol, M.J.; Walker, G.P.L.; Cobbold, R.R.; Coward, M. 1974. The San Pedro and San Pablo volcanoes of northern Chile and their hot avalanche deposits. *Geologische Rundschau*, Vol. 63, p. 357-388. (*)
- Francis, P.W.; Rundle, C.C. 1976. Rates of production of the main magma types in the Central Andes. *Geological Society of America, Bulletin*, Vol. 87, p. 474-480.
- Francis, P.W.; Thorpe, R.S.; Moorbath, S.; Kretschmar, G.A.; Hammill, M. 1980. Strontium isotope evidence for crustal contamination of calc-alkaline volcanic rocks from Cerro Galán, NW-Argentina. *Earth and Planetary Science Letters*, Vol. 48, p. 257-267. (*)
- Francis, P.W.; Wells, G.L. 1988. Landsat thematic mapper observations of debris avalanche deposits in the Central Andes. *Journal of Volcanology and Geothermal Research*, Vol. 50, p. 258-278.
- Frey, F.A.; Gerlach, D.C.; Hickey, R.L.; López-Escobar, L.; Munizaga, F. 1984. Petrogenesis of the Laguna del Maule volcanic complex, Chile (36°S). *Contributions to Mineralogy and Petrology*, Vol. 88, p. 133-149. (*)
- Harmon, R.S.; Barreiro, B.A.; Moorbath, S.; Hoefs, H.; Francis, P.W.; Thorpe, R.S.; Déruelle, B.; McHugh, J.; Vigliino, J.A. 1984. Regional O-, Sr- and Pb-isotope relationships in late Cenozoic calc-alkaline lavas of the Andean Cordillera. *Journal of the Geological Society of London*, Vol.141, p. 803-822.
- Harmon, R.S.; Barreiro, B.A.; Moorbath, S.; Hoefs, H.; Francis, P.W.; Thorpe, R.S.; Déruelle, B.; McHugh, J.; Vigliino, J.A. 1984. Regional O-, Sr- and Pb-isotope relationships in late Cenozoic calc-alkaline lavas of the Andean Cordillera. *Journal of the Geological Society of London*, Vol.141, p.803-822. (*)
- Hawkesworth, C.J.; Ellam, R.M. 1989. Chemical fluxes and wedge replenishment rates along recent destructive plate margins. *Geology*, Vol.17, p. 46-49.
- Hawkesworth, C.J.; Hammill, M.; Gledhill, A.R.; van Calsteren, P.; Rogers, G. 1982. Isotope and trace element evidence for late stage intracrustal melting in the High Andes. *Earth and Planetary Science Letters*, Vol. 58, p. 240-254. (*)
- Hawkesworth, C.J.; Norry, M.J.; Roddick, J.C.; Baker, P.E.; Francis, P.W.; Thorpe, R.S. 1979. $^{143}\text{Nd}/^{144}\text{Nd}$, $^{87}\text{Sr}/^{86}\text{Sr}$, and incompatible element variations in calc-alkaline andesites and plateau lavas from S-America. *Earth and Planetary Science Letters*, Vol. 42, p. 45-57. (*)
- Hildreth, W. E.; Moorbath, S. 1988. Crustal contribution to arc magmatism in the Andes of Central Chile. *Contributions to Mineralogy and Petrology*, Vol. 98, p. 455-489.
- Horn, S. 1991. Intra- und intervulkanische Variationen entlang der Zentralen Vulkanzone in Nordchile (17-22°S): Petrographische und geochemische Untersuchungen. M.Sc. Thesis (Unpublished). *Universidad de Mainz*, 144 p.
- Hörmann, P.K.; Pichler, H.P.; Zeil, W. 1973. New data on the young volcanism in the Puna of NW-Argentina. *Geologische Rundschau*, Vol. 62, p. 397-418. (*)
- Isacks, B.L. 1988. Uplift of the Central Andean Plateau and bending of the Bolivian Orocline. *Journal of Geophysical Research*, Vol. 93, p. 3211-3231.

(*) Referencias cuyos datos se emplearon en la elaboración de las figuras.

- James, D.E. 1971a. Plate tectonic model for the evolution of the Central Andes. *Geological Society of America, Bulletin*, Vol. 82, p. 3325-3346.
- James, D.E. 1971b. Andean crustal and upper mantle structure. *Journal of Geophysical Research*, Vol. 76, p. 3246-3271.
- James, D.E. 1982. A combined O, Sr, Nd, and Pb isotopic and trace element study of crustal contamination in central Andean lavas; I, Local geochemical variations. *Earth and Planetary Science Letters*, Vol. 57, No. 1, p. 47-62. (*)
- James, D.E.; Brooks, C.; Cuyubamba, A. 1976. Andean Cenozoic volcanism: Magma genesis in the light of Sr isotopic composition and trace element geochemistry. *Geological Society of America, Bulletin*, Vol. 87, p. 592-600. (*)
- Katsui, Y.; González-Ferrán, O. 1968. Geología del área neovolcánica de los Nevados de Payachata. *Universidad de Chile, Departamento de Geología, Publicaciones*, No. 29, p. 1-61. (*)
- Klerkx, J.; Deutsch, S.; Pichler, H.; Zeil, W. 1977. Strontium isotopic composition and trace element data bearing on the origin of Cenozoic volcanic rocks of the Central and Southern Andes. *Journal of Volcanology and Geothermal Research*, Vol. 2, p. 49-71. (*)
- Kussmaul, S.; Hörmann, P.K.; Ploskonka, E.; Subieta, T. 1977. Volcanism and structure of SW-Bolivia. *Journal of Volcanology and Geothermal Research*, Vol. 2, p. 73-111. (*)
- Lahsen, A. 1982. Upper Cenozoic volcanism and tectonism in the Andean of northern Chile. *Earth Science Reviews*, Vol. 18, p. 285-302.
- Moorbath, S.; Thorpe, R.S.; Francis, P.W. 1979. Rare earth and Sr-isotope evidence concerning the petrogenesis of north Chilean ignimbrites. *Earth and Planetary Science Letters*, Vol. 42, p. 359-367. (*)
- O'Callaghan, L.J.; Francis, P.W. 1986. Volcanological and petrological evolution of San Pedro volcano, Provincia El Loa, North Chile. *Journal of Geological Society of London*, Vol. 143, p. 275-286. (*)
- Pacci, D.; Hervé, F.; Cordani, H.; Munizaga, F.; Kawashita, K. 1980. Acerca de la edad Rb-Sr Precámbrica de la Formación Esquistos de Belén, Departamento de Parinacota, Chile. *Revista Geológica de Chile*, No. 11, p. 43-59.
- Palacios, C.; López-Escobar, L. 1979. Geoquímica y petrología de andesitas cuaternarias de los Andes Centrales (18°57'-19°28'S). In *Congreso Geológico Chileno*, No. 2, *Actas*, Vol. 3, p. E73-E88. (*)
- Peccerillo, A.; Taylor, S.R. 1976. Geochemistry of Eocene calc-alkaline volcanic rocks from Kastamonu area, northern Turkey. *Contributions to Mineralogy and Petrology*, Vol. 58, p. 63-81. (*)
- Pichler, H.; Zeil, W. 1972. Paleozoic and Mesozoic ignimbrites of northern Chile. *Neues Jahrbuch für Mineralogie, Abhandlungen*, Vol. 116, p. 196-207. (*)
- Rogers, G.R.; Hawkesworth, C.J. 1989. A geochemical traverse across the north Chilean Andes. Evidence for crust generation from the mantle wedge. *Earth and Planetary Science Letters*, Vol. 91, p. 271-285.
- Rogers, G.; Hawkesworth, C.J. 1990. Reply to comment by C.R. Stern on «A geochemical traverse across the north Chilean Andes. Evidence for crust generation from the mantle wedge». *Earth and Planetary Science Letters*, Vol. 101, p. 134-137.
- Schwarz, G.; Martínez, E.; Bannister, J. 1986. Untersuchungen zur elektrischen Leitfähigkeit in den zentralen Anden (21°-25°S) und aus dem Atlas-System (Marokko), Teil 1 (Giese, P.; editor). *Berliner Geowissenschaftliche Abhandlungen, Reihe A: Geologie und Paläoontologie*, Vol. 66, No. 1, p. 49-72.
- Siegers, A.; Pichler, H.; Zeil, W. 1969. Trace element abundances in the andesite formation of northern Chile. *Geochimica et Cosmochimica Acta*, Vol. 33, p. 882-887. (*)
- Stern, C.R. 1990. Comment on «A geochemical traverse across the north Chilean Andes. Evidence for crust generation from the mantle wedge» by G. Rogers and C.J. Hawkesworth. *Earth and Planetary Science Letters*, Vol. 101, p. 129-133.
- Thornburg, T.M.; Kulm, L.D. 1987. Sedimentation in the Chile trench: Depositional morphologies, lithofacies, and stratigraphy. *Geological Society of America, Bulletin*, Vol. 98, p. 33-52.
- Thorpe, R.S.; Francis, P.W. 1979. Variations in Andean andesite compositions and their petrogenetic significance. *Tectonophysics*, Vol. 57, p. 53-70. (*)
- Thorpe, R.S.; Francis, P.W.; O'Callaghan, L. 1984. Relative roles of source composition, fractional crystallization, and crustal contamination in the petrogenesis of Andean volcanic rocks. *Philosophical Transactions of the Royal Society of London*, Vol. 310, p. 675-692. (*)
- Thorpe, R.S.; Potts, P.J.; Francis, P.W. 1976. Rare earth data and petrogenesis of andesite from the north Chilean Andes. *Contributions to Mineralogy and Petrology*, Vol. 54, p. 65-78. (*)
- Tilton, G.R.; Barreiro, B.A. 1980. Origin of lead in Andean calc-alkaline lavas, southern Perú. *Science*, Vol. 210, No. 4475, p. 1245-1247. (*)
- Wörner, G.; Harmon, R. S.; Davidson, J. P.; Moorbat, S.; Turner, D.L.; McMillan, N. J.; Nye, C.; López-Escobar, L. 1988. The Nevados de Payachata volcanic region (18°S/69°W, N. Chile). 1. Geological, geochemical, and isotopic observations. *Bulletin of Volcanology*, Vol. 50, p. 287-303.